УДК 621.373.7

КОГЕРЕНТНОЕ РАМАНОВСКОЕ СМЕШЕНИЕ В РЕЗОНАТОРЕ

С. И. Бондаренко, Ю. Е. Дьяков, С. Ю. Никитин

(кафедра общей физики и волновых процессов)

Одним из методов повышения эффективности генерации ИК-излучения на основе когерентного рамановского смешения (КРС) может явиться использование резонатора по ИК-волне. В таком резонаторе генерируемая волна многократно пробегает область возбужденных колебаний среды, в результате чего усиление «накапливается», и КПД преобразования частоты повышается.

В данной работе анализ КРС в резонаторе проводится на основе

пятиволновой модели, предложенной в [1, 2].

В обозначениях работы [1] преобразование частоты при КРС описывается следующей системой уравнений для амплитуд полей на частотах ω_{π} , $\omega_{\nu k} = \omega_{\pi} - \omega_{0}$, $\omega_{a} = \omega_{\pi} + \omega_{0}$ (рис. 1):

$$\frac{\partial A_{\Pi}}{\partial z} = -\frac{1}{2} g_{\Pi} \left[A_{HK} Q(z) e^{-i\Delta_1 z} + A_a Q^*(z) e^{i\Delta_2 z} \right],$$

$$\frac{\partial A_{HK}}{\partial z} = \frac{1}{2} g_{HK} A_{\Pi} Q^*(z) e^{i\Delta_1 z},$$

$$\frac{\partial A_a}{\partial z} = \frac{1}{2} g_a A_{\Pi} Q(z) e^{-i\Delta_2 z},$$
(1)

где $\Delta_1 = (k_{\rm H} - k_{\rm C}) - (k_{\rm H} - k_{\rm MH})$, $\Delta_2 = (k_{\rm H} - k_{\rm C}) - (k_{\rm A} - k_{\rm H})$ — волновые расстройки,

$$Q(z) = 2Q_0 \frac{\sqrt{\alpha} \exp \Gamma z (1+\alpha)}{1+\alpha \exp 2\Gamma z (1+\alpha)} e^{i\varphi}$$
 (2)

пространственное распределение молекулярных колебаний при ВКР накачки, $\alpha = I_{\rm co}\omega_{\rm H}/I_{\rm ho}\omega_{\rm c},~\Gamma = (1/2)\,g_{\rm c}I_{\rm ho},$

$$Q_0 = (1/2)(1+\alpha)I_{\text{HO}}\sqrt{U_{\text{G}}/W_{\text{H}}}, \varphi = \varphi_{\text{H}} - \varphi_{\text{c}};$$

 $I_{10}, \ \phi_i \ (i=$ н, с) — интенсивности и фазы волны с частотой ω_i при z=0.

1. Среда без дисперсии. Рассмотрим генерацию ИК-излучения в слабодиспергирующей среде, когда

$$\Delta_{1,2}/\Gamma \ll 1$$
.

Такая ситуация реализуется, в частности, в экспериментах [4, 5]. В этом случае можно приближенно рассматривать КРС, вообще пренебрегая дисперсией, т. е. полагая $\Delta_1 = \Delta_2 = 0$ (в условиях работы [3] дисперсией можно пренебречь уже при $\Delta_{1,2}/\Gamma \leqslant 0,5$ [1]). Общее решение уравнений (1) при $\Delta_1 = \Delta_2 = 0$ приведено в [1]. Оно содержит постоянные C_0 , C_1 , C_2 , определяемые граничными условиями, т. е. типом выбранного резонатора.

Рассмотрим идеализированный резонатор на $\omega_{\text{ик}}$ (см. рис. 1), в котором 1) коэффициент отражения выходного зеркала по интенсивности может быть сделан любым в диапазоне 0 < R < 1, 2) входное зеркало отражает ИК-излучение полностью, 3) при каждом отражении фаза

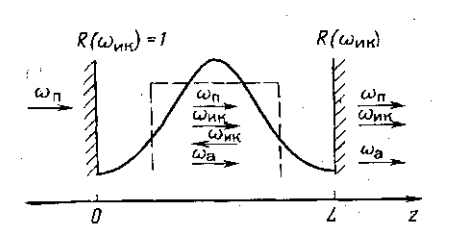
 ${\it HK}$ -волны меняется на π , 4) на частотах $\omega_{\tt H}$, $\omega_{\tt C}$, $\omega_{\tt m}$, $\omega_{\tt A}$ зеркала зрачны. Всем этим требованиям в значительной степени удовлетворяют отражающие многослойные диэлектрические зеркала ИК-диапазона [6]. В простейшем случае зеркало представляет собой набор чередующихся слоев толщиной l_1 и l_2 с показателями преломдения n_1 и n_2 , которые удовлетворяют условию:

$$\omega_{\text{MK}} n_1 l_1/c = \omega_{\text{MK}} n_2 l_2/c = \pi/2.$$

Коэффициент отражения по амплитуде такой системы

$$r = \begin{cases} \frac{(n/n_0)(n_1/n_2)^N - 1}{(n/n_0)(n_1/n_2)^N + 1} & \text{при } N \text{ четном} \\ \frac{(nn_0/n_2^2)(n_1/n_2)^{N-2} - 1}{(nn_0/n_2^2)(n_1/n_2)^{N-2} + 1} & \text{при } N \text{ нечетном}, \end{cases}$$





 ω_0 ω_0 зы при отражении равно нулю (при $n_1 > n_2$) или π (при $n_1 < n_2$). Модуль

> Рис. 1. Схема резонатора на ω_{ик}. Сплошной кривой показано точное пространственное распределение молекулярных колебаний (2), пунктиром — приближенное распределение; вверху — частоты взаимодействующих волн

коэффициента отражения увеличивается с ростом числа слоев N и может достигать 99% и более при $N\sim 10$ [6, 7].

Для резонатора длиной L, удовлетворяющего указанным требова-

ниям, граничные условия имеют вид *:

$$A_{\text{II}}(z=0) = A_{\text{IIO}},$$

 $A_{\text{IIR}}(z=0) = \sqrt{R}A_{\text{IIR}}(z=L),$
 $A_{\text{A}}(z=0) = 0.$ (3)

Полагая, что резонатор охватывает всю область молекулярных колебаний, для функции p(z), входящей в формулы (15) работы [1], можно записать: p(z=0)=0, $p(z=L)\approx \pi/2$. Эти соотношения вместе с условиями (3) определяют постоянные

$$C_0 = \frac{h}{\sqrt{2}} \cdot \frac{\sqrt{R}\sin{(\gamma\pi/2)}}{(1+h)-\sqrt{R}(h+\cos(\gamma\pi/2))}, C_1 = 1, C_2 = -\frac{\sqrt{2}}{h}C_0,$$

где $h = \omega_a/\omega_{HK}$, $\gamma = (2\omega^2 \pi/\omega_H \omega_c)^{1/2}$, и, следовательно, распределение амплитуд полей в резонаторе. Полученные формулы позволяют определить нормированные интенсивности волн с частотами ω_{Π} , ω_{NR} , ω_{a} на выходе из резонатора $\eta_{\Pi} = I_{\Pi}(L)/I_{\Pi 0}$, $\eta_{NR} = (1-R)I_{NR}(L)\omega_{\Pi}/I_{\Pi 0}\omega_{NR}$, $\eta_{a} = I_{a}(L)\omega_{\Pi}/I_{\Pi 0}\omega_{a}$, $(I_{j} = |A_{j}|^{2}, I_{\Pi 0} = |A_{\Pi 0}|^{2})$:

^{*} В (3) пренебрегается усилением ИК-волны на обратном проходе из-за большой волновой расстройки встречного взаимодействия.

$$\eta_{\pi} = \left[\frac{(1+h)\cos(\gamma\pi/2) - \sqrt{R}(1+h\cos(\gamma\pi/2))}{(1+h) - \sqrt{R}(h+\cos(\gamma\pi/2))} \right]^{2},$$

$$\eta_{\pi_{K}} = \frac{(1-R)(1+h)\sin^{2}(\gamma\pi/2)}{[(1+h) - \sqrt{R}(h+\cos(\gamma\pi/2))]^{2}},$$

$$\eta_{a} = \frac{h(1+h)(1-\sqrt{R})^{2}\sin^{2}(\gamma\pi/2)}{[(1+h) - \sqrt{R}(h+\cos(\gamma\pi/2))]^{2}}.$$
(4)

Отметим некоторые свойства полученного решения.

1. Для выходных интенсивностей справедлив закон сохранения:

$$\eta_{\text{II}} + \eta_{\text{MK}} + \eta_{\text{a}} = 1$$
.

2. При R=0 из (4) вытекают формулы (16) работы [1] для эффективности преобразования частоты в свободном пространстве.

3. Существует «оптимальный» коэффициент отражения, при котором эффективность генерации максимальна. Из условия $\partial \eta_{\rm HK}/\partial (\sqrt{R}) = 0$ находим

$$R_{\text{opt}} = \left[\frac{h + \cos\left(\gamma\pi/2\right)}{h + 1}\right]^2 = \left[\frac{1 + \left(\omega_{\text{HK}}/\omega_a\right)\cos\left(\gamma\pi/2\right)}{1 + \left(\omega_{\text{HK}}/\omega_a\right)}\right]^2. \tag{5}$$

4. Максимальная эффективность с использованием резонатора по ИК-волне составляет

$$\eta_{\text{max}} = \eta_{\text{IR}}(R = R_{\text{opt}}) = \eta_0/(1 - R_{\text{opt}}),$$
(6)

где $\eta_0 = \eta_{\rm MR}(R=0) = (1+h)^{-1} \sin^2(\gamma \pi/2)$ — эффективность генерации без

резонатора.

5. Выигрыш в КПД при использовании резонатора увеличивается с ростом λ_{MR} . При больших λ_{MR} получаем: $h \to \infty$, $\gamma \to \gamma_0 \Longrightarrow (2\omega^2_0/\omega_H\omega_c)^{1/2}$, $\eta_{\text{max}} \to (1/2) \sin^2(\gamma_0 \pi/2)$, $\eta_0 \to 0$, $R_{\text{opt}} \to 1(\omega_0 - 4\alpha)$ частота молекулярных коле-

баний).

На рис. 2 представлены графики η_0 , η_{max} , R_{opt} , построенные по формулам (5), (6) в случае, когда рабочим веществом является сжатый водород ($v_0 = \omega_0/2\pi c = 4155 \text{ см}^{-1}$) и $\lambda_{\text{H}} = 1,06$ мкм [3]. Видно, что использование резонатора позволяет существенно повысить КПД, котя и не дает возможности полной перекачки энергии пробного излучения в ИК-волну. Применение резонатора особенно эффективно в длиноволновом диапазоне, в частности при генерации излучения с длиной волны 16 мкм [4, 5]. Это иллюстрирует кривая 3 на рис. 3, показывающая зависимость КПД от коэффициента отражения R для условий экспериментов [4, 5]. В данном случае $\eta_0 = 0.74\%$, $\eta_{\text{max}} = 99.6\%$, $R_{\text{opt}} = 99.25\%$, т. е. применение резонатора дает выигрыш в эффективности генерации примерно в 135 раз.

2. Среда с дисперсией. В работе [1] развит приближенный метод решения уравнений (1), позволяющий вычислять эффективность преобразования частоты на основе КРС при любой величине отношения $\Delta_{1,2}/\Gamma$ (за исключением области $\Delta_{1,2}/\Gamma\gg 1$, где эффективность КРС чрезвычайно мала). Метод основан на аппроксимации колоколообразного пространственного распределения молекулярных колебаний среды (2) прямоугольным распределением (см. рис. 1), параметры которого выбираются из условий равенства площадей и минимума среднеквадратичного отклонения точного (2) и приближенного распределений. Расчет эффективности преобразования частоты в резонаторе можно провести

по аналогичной схеме.

Используя найденное в [1] решение уравнений (1) и учитывая граничные условия (3), получим для КПД генерации ИК-излучения следующее выражение:

 $\eta_{\text{MK}} = (1 - R) |K|^2, \tag{7}$

где

$$\begin{split} |K|^2 &= \left(\sum_{k=1}^3 d_{k1} \cos x_k - d_{k2} \sin x_k\right)^2 + \left(\sum_{k=1}^3 d_{k1} \sin x_k + d_{k2} \cos x_k\right)^2, \\ d_{k1} &= \sqrt{h_1} \, c_{k1} / (\gamma_k + \delta_1), \, d_{k2} = \sqrt{h_1} \, c_{k2} / (\gamma_k + \delta_1), \, x_k = \gamma_k \zeta_m, \\ c_{k1} &= (D_{k1} D_1 + D_{k2} D_2) / (D_1^2 + D_2^2), \\ c_{k2} &= (D_{k2} D_1 - D_{k1} D_2) / (D_1^2 + D_2^2), \, D_j = \sum_{k=1}^3 D_{kj} \, (j = 1, 2), \\ D_{1j} &= b_3 a_{2j} - b_2 a_{3j}, \, D_{2j} = b_1 a_{3j} - b_3 a_{1j}, \\ D_{3j} &= b_2 a_{1j} - b_1 a_{2j}, \, b_k = 1 / (\gamma_k - \delta_2), \\ a_{k1} &= \left[1 - \sqrt{R} \cos \left(\gamma_k + \delta_1\right) \xi_m\right] / (\gamma_k + \delta_1), \\ a_{k2} &= -\left[\sqrt{R} \sin \left(\gamma_k + \delta_1\right) \xi_m\right] / (\gamma_k + \delta_1); \\ \delta_{1,2} &= (2\sqrt{2} / \gamma \Gamma \beta_0) \, \Delta_{1,2}; \, \zeta_m = (\omega_n^2 / \omega_n \omega_c)^{1/2} \pi / 2, \, \beta_0 = 0, 79, \end{split}$$

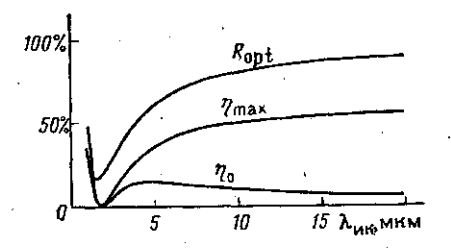


Рис. 2. Эффективность генерации в свободном пространстве и в резонаторе, а также оптимальный коэффициент отражения в зависимости от длины волны генерируемого излучения

ү_{1,2,3} определяются формулами (13) работы [1]. Из (7) следует, что а) при R=0 (7) совпадает с формулой (14) работы [1] для КПД генерации ИК-излучения в свободном пространстве;

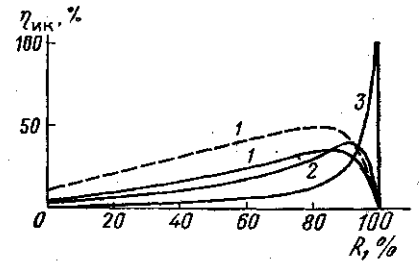


Рис. 3. КПД генерации ИК-излучения в зависимости от коэффициента отражения для условий [3]: $\lambda_{\rm H}\!=\!1,06\,$ мкм; $\nu_0\!=\!\omega_0/2\pi c$ = 4155 cm⁻¹; $\Gamma\!=\!0,8\,$ cm⁻¹; давление водорода 20 атм. $I-\lambda_{\rm mR}\!=\!10\,$ мкм; $\lambda_1\!=\!0,75\,$ cm⁻¹; $\Delta_2\!=\!0,02\,$ cm⁻¹ (пунктиром то же — без учета дисперсии); $2-\lambda_{\rm mR}\!=\!16\,$ мкм; $\lambda_1\!=\!0,79\,$ cm⁻¹; $\lambda_2\!=\!0,10\,$ cm⁻¹; и для условий [4, 5] (справедливо бездисперсионное приближение); $3-\lambda_{\rm H}\!=\!0,69\,$ мкм; $\nu_0\!=\!354\,$ cm⁻¹; $\lambda_{\rm HR}\!=\!16\,$ мкм

б) при $\delta_{1,2} \to 0$ из уравнения (12) работы [1] следует $\gamma_1 \approx -(\delta_1 h_2 - \delta_2 h_1)/(h_1 + h_2), \gamma_2 \approx \sqrt{2}, \gamma_3 \approx -\sqrt{2},$

и (7) переходит в полученное ранее выражение (4) для КПД генерации без учета дисперсии.

Формулы (4), (7) нетрудно обобщить на случай произвольных коэффициентов отражения для всех трех волн ω_n , $\omega_{n\kappa}$, ω_a . Полученная зависимость КПД от коэффициента отражения показана на рис. 3

(волновые расстройки вычислялись по формулам, приведенным в [1]). КПД генерации в свободном пространстве соответствуют точки при $R\!=\!0$. Видно, что дисперсия снижает эффективность генерации. Интересно отметить, однако, что дисперсия среды увеличивает выигрыш в КПД, получаемый за счет резонатора: из кривых I на рис. З видно, что отношение η_{max}/η ($R\!=\!0$) для диспергирующей среды больше, чем для среды без дисперсии (величина $R_{\text{орt}}$ в диспергирующей среде также повышается). Наконец, даваемый резонатором выигрыш тем больше, чем больше $\lambda_{\text{ик}}$.

Развитая здесь стационарная теория применима лишь в случае достаточно большого числа отражений ИК-волны в резонаторе: $\tau c/L\gg 1$, где τ — длительность импульса, L — длина резонатора, c — скорость света. Минимальную длину резонатора можно оценить из условия $L=2L_0\approx 2\pi/\Gamma$, где L_0 — эффективная длина области возбуждения молекулярных колебаний [1], Γ — инкремент усиления. Оценки по этим формулам показывают, что как в условиях работы [3] (τ =10 нс, Γ =0,8 см⁻¹, $\tau c/L\approx 40$), так и в условиях работ [4, 5] (τ =60 нс) условие стационарности можно считать выполненным.

СПИСОК ЛИТЕРАТУРЫ

[1] Дьяков Ю. Е., Нехаенко В. А., Никитин С. Ю. Пятиволновая модель когерентного рамановского смешения.— Вестн. Моск. ун-та. Сер. З. Физ. Астрон., 1981, 22, № 4, с. 52—58. [2] Бондаренко С. И., Дьяков Ю. Е., Нехаенко В. А., Никитин С. Ю. К теории генерации ИК-излучения при четырехволновом процессе на основе неколлинеарного ВКР и в резонаторе.— В кн.: Тезисы докл. IX Всес. конф. по когерентной и нелинейной оптике. М., 1978, ч. II, с. 117. [3] В гозлал S. J., Fleming R. N., Herbst R. L., Вуег R. L. Tunable infrared generation by coherent Raman mixing in H₂—Appl. Phys. Lett., 1977, 30, р. 330—332. [4] Loy M. M. T., Sorokin P. P., Lankard J. R. Generation of 16-µm radiation by four-wave mixing in parahydrogen.—Appl. Phys. Lett., 1977, 30, р. 415—417. [5] Sorokin P. P., Loy M. M. T., Lankard J. R. A 16-µm radiation source utilizing four-wave mixing in cooled parahydrogen gas.—IEEE J. of Quant. Electron, 1977, QE—13, р. 871—875. [6] Борисевич Н. А., Верещагин В. Г., Валидов М. А. Инфракрасные фильтры. Минск, 1971, с. 101—158. [7] Розенберг Г. В. Оптика тонкослойных покрытий. М.: ГИФМЛ, 1958, с. 249.

Поступила в редакцию 09.07.79

ВЕСТН. МОСК. УН-ТА. СЕР. 3. ФИЗИКА. АСТРОНОМИЯ, 1981, Т. 22, № 6

УДК 534.222.2

НЕЛИНЕЙНЫЕ ПЛОСКИЕ ВОЛНЫ, ВОЗБУЖДАЕМЫЕ ДВИЖУЩИМИСЯ ОБЪЕМНЫМИ МОНОХРОМАТИЧЕСКИМИ ИСТОЧНИКАМИ

В. Э. Гусев

(кафедра общей физики и волновых процессов)

Для описания акустических волн конечной амплитуды, источники которых распределены в пространстве, можно использовать неоднородное уравнение Бюргерса [1]:

$$\frac{\partial \rho}{\partial x} - \frac{\varepsilon}{c_0 \rho_0} \rho \frac{\partial \rho}{\partial \tau} - \frac{b}{2c_0^3 \rho_0} \frac{\partial^3 \rho}{\partial \tau^2} = f(\tau, x). \tag{1}$$

Здесь оно выписано для возмущения плотности в сопровождающей системе координат $(x, \tau = t - x/c_0)$. В уравнении (1) є и b — константы